

Fig. 1.5.19A: Variabilidad estacional de la componente no periódica en el dominio de las frecuencias medias en las estaciones de Santa Cruz del Sur (en azul), Casilda (en violeta) y La Coloma (en amarillo).

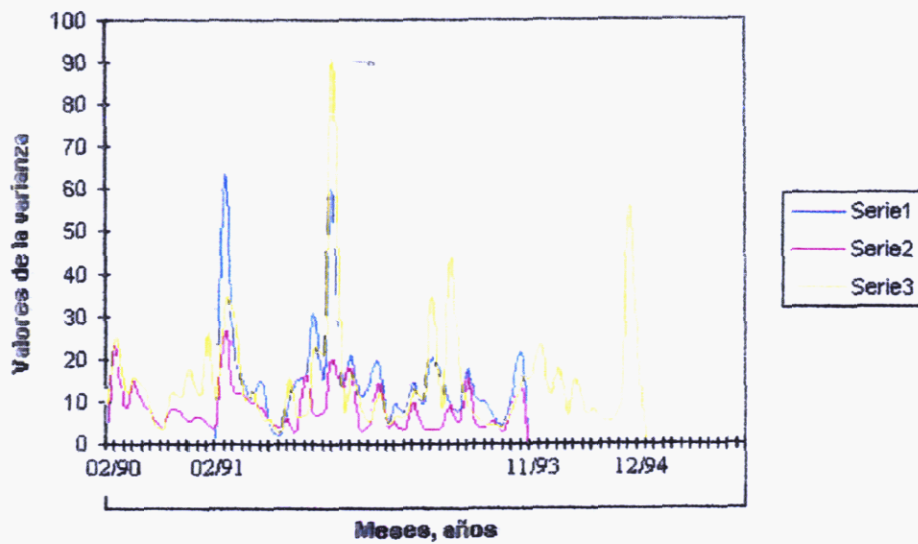


Fig. 1.5.19B: Variabilidad estacional de la componente no periódica en el dominio de las frecuencias medias en las estaciones de La Isabela (en azul), Gibara (en violeta) y Siboney (en amarillo).

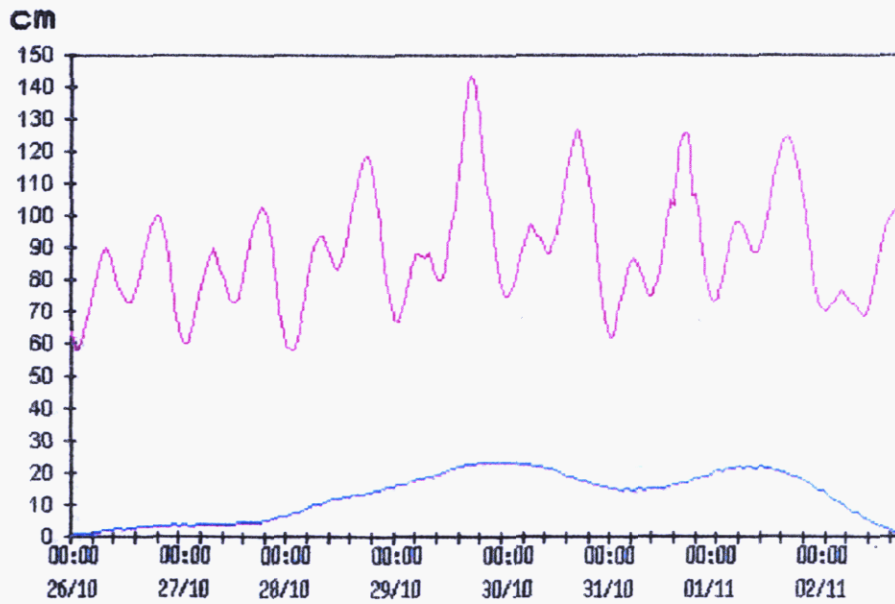


Figura 1.5.20 Variación del nivel del mar observado (en violeta) y de la componente no periódica del nivel del mar en el dominio de las frecuencias medias (en azul) en la estación Siboney durante el Huracán Juan, desde las 00:00 horas del día 26 de Octubre de 1985

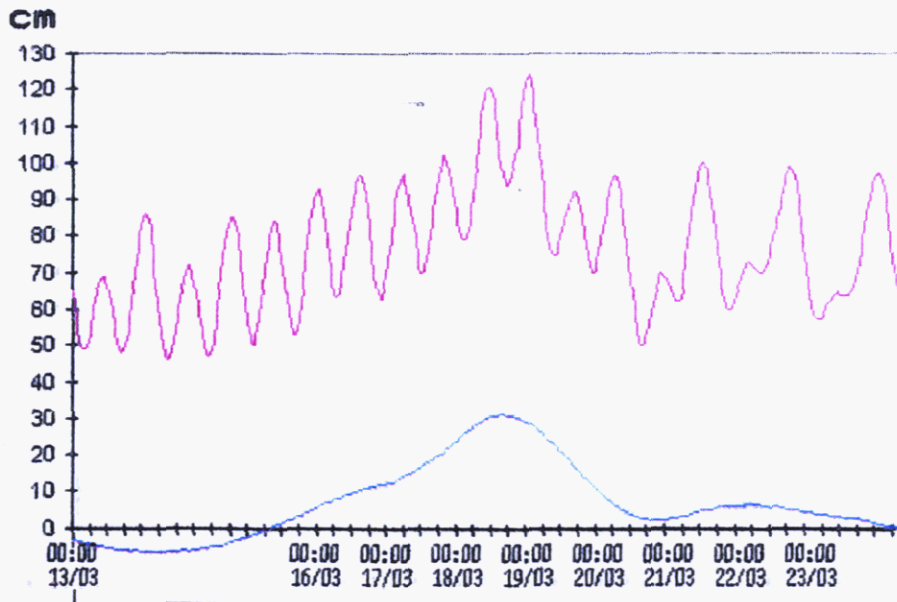


Figura 1.5.21 Variación del nivel del mar observado (en violeta) y de la componente no periódica del nivel del mar en el dominio de las frecuencias medias (en azul) en la estación Siboney durante la baja extratropical del 18 de Marzo de 1983, a partir de las 00:00 horas del día 13 del mismo mes

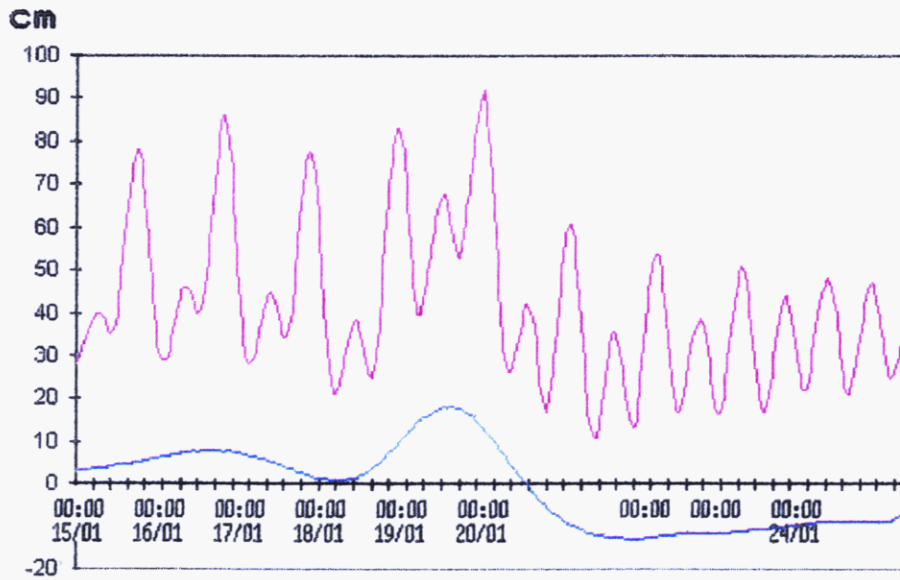


Figura 1.5.22 Variación del nivel del mar observado (en violeta) y de la componente no periódica del nivel del mar en el dominio de las frecuencias medias (en azul) en la estación Siboney durante el frente frío fuerte del 19 de Enero de 1977, a partir de las 00:00 horas del día 15 del mismo mes

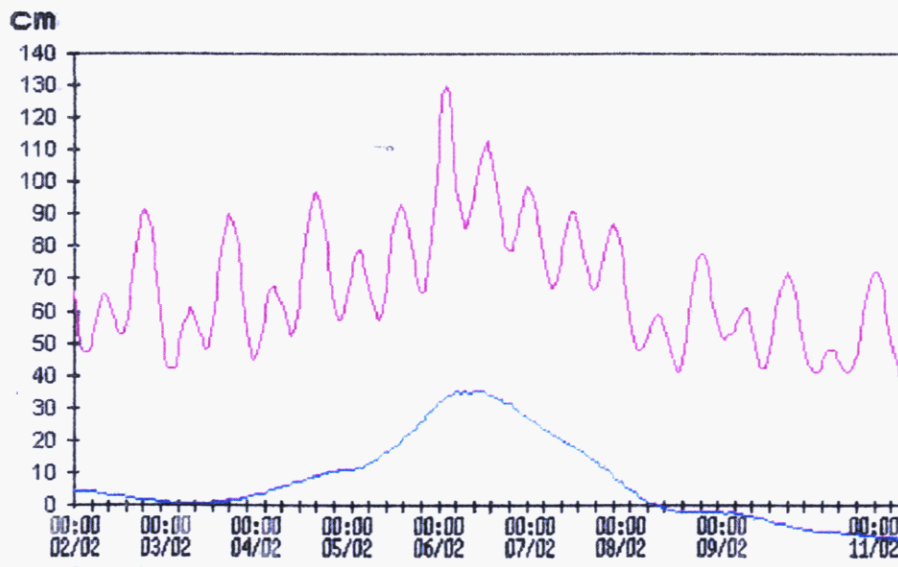


Figura 1.5.23 Variación del nivel del mar observado (en violeta) y de la componente no periódica del nivel del mar (en azul) en la estación Siboney durante la baja extratropical del 6 de Febrero de 1992 a partir de las 00:00 horas del día 2 del mismo mes